

宮崎大学工学部 正員 石黒政儀 正員 増田純道  
宮崎大学工学部 学生員 足立哲伸 学生員 田中修成

1.はじめに 回転円板生物学的脱窒素法は、嫌気的条件充足のため円板体を全水没とし、通常嫌気性菌である脱窒菌を利用してする。しかし、この方法では円板体と連絡するシャフト類が絶えず水中にあるため腐食や維持管理上の問題点をもつていて、筆者らはこの解決策として、装置を密閉型とし、円板浸漬率を下げて場合による脱窒の検討、さらにNH<sub>3</sub>-N内板負荷(%)と脱窒率の関係を明らかにする事を試みた。一般に、塵芥埋立地浸出水におけるNH<sub>3</sub>-N濃度が高く、過剰解性有機物(フルボ酸、フミン酸等)を含む廃水である。塵芥埋立地浸出水のNH<sub>3</sub>-N内板負荷(%)と硝化率の関係を明らかにすることは、硝化段階での設計NH<sub>3</sub>-N負荷に適度の安全性をもたらすことができ、システムの経済性あるいは豪雨時の処理に有意義であると考えられる。本文では、これらの硝化・脱窒に関する実験的結果に考察を加えて報告する。

2.実験装置および実験条件 実験装置の概略を図-1に示す。実験装置は宮崎市萩の台塵芥埋立地浸出水処理場に設置し、硝化部・脱窒部を一体として、円板体を8 rpm(周速25.17 cm/min)で稼動させた。  
1) 硝化部 硝化槽は槽容積0.165 m<sup>3</sup>、1軸3段円板枚数各段10枚、円板直径0.5m、円板厚5mm、円板間隔2.5cm、有効表面積11.8 m<sup>2</sup>、円板浸漬率は約50%である。本処理場最初次回流池貯留の原水をポンプアップ(硝化槽に流入させ、同時に原水中のリン不足を補うためKH<sub>2</sub>PO<sub>4</sub>を添加)し、2) 脱窒部 脱窒槽は1軸3段、円板枚数各段10枚、円板直径0.5m、円板厚5mmである。NO<sub>3</sub>-N負荷を上げるために実験装置回転円板の硝化処理水を実験装置脱窒槽に流入させた。表-1に実験装置硝化処理水水質を示す。また、有機炭素源としてメタノールを1段目に投入した(C/N=3.0)。脱窒部円板浸漬率を定常状態後100, 80, 50%に変化させた。各浸漬率に対する槽容積・円板浸漬表面積は0.40 m<sup>3</sup>・11.8 m<sup>2</sup>, 0.32 m<sup>3</sup>・9.4 m<sup>2</sup>, 0.16 m<sup>3</sup>・5.9 m<sup>2</sup>である。嫌気的条件を充足させるために脱窒槽空中部を密閉し、サンブル採取の度に槽内ガスを採り、ガスクロマトグラフで分析した。

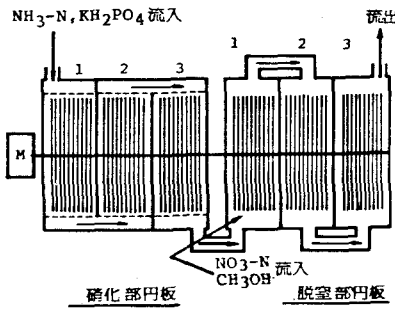
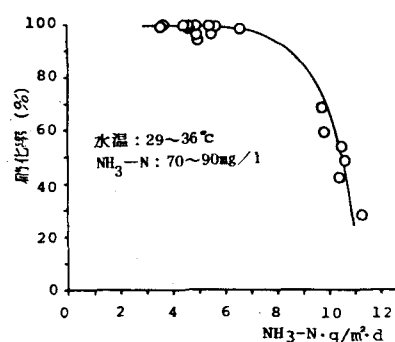


図-1 実験装置

表-1 硝化処理水水質

DO	6.8 - 9.0	T-N	42.5 - 87.3
PH	8.1 - 8.8	COD	44.0 - 65.8
NH <sub>3</sub> -N	0.2 - 2.7	ALK	450 - 610
NO <sub>2</sub> -N	0 - 0.11	TOC	60 - 113
NO <sub>3</sub> -N	42.4 - 86.4	PH以外, mg/l	

図-2 硝化率とNH<sub>3</sub>-N負荷の関係

3-2 脱窒 図-3に脱窒率とNO<sub>3</sub>-N浸漬円板負荷の関係を示す。滞留時間は浸漬率S=100%で13.9 ~ 2.4 hr, S=80%で12.7 ~ 1.3 hr,

$S=50\%$ で $6.5 \sim 6.6 \text{ mg/d}$ である。硝化水中 $\text{NH}_3\text{-N}$ 濃度変化、流入量変動により測定値にバラツキを生じた。浸漬率100%では $\text{NO}_3\text{-N}$ 負荷 $14.09 \text{ mg/d}$ までは94~100%の脱塗率となり、これより $\text{NO}_3\text{-N}$ 負荷の増加に伴い減少する。中畠らは、都市下水を用いて( $\text{NO}_2\text{-N} + \text{NO}_3\text{-N}$ )と( $\text{NO}_2\text{-N} + \text{NO}_3\text{-N}$ )除去率の関係を示しており、除去率90%を得るために( $\text{NO}_2\text{-N} + \text{NO}_3\text{-N}$ )負荷は $6 \sim 7.8 \text{ mg/d}$ と結論づけているが、

今回の浸出汚水を用いた場合、除去率90%以上を得るために $\text{NO}_3\text{-N}$ 負荷は約 $17.09 \text{ mg/d}$ である。即ち、浸漬率80%では $\text{NO}_3\text{-N}$ 負荷 $17.09 \text{ mg/d}$ まで脱塗率95~100%を示す。これより、 $\text{NO}_3\text{-N}$ 負荷の増加に伴い減少する。脱塗率90%以上を得るために $\text{NO}_3\text{-N}$ 負荷は $27.09 \text{ mg/d}$ である。浸漬率50%では $\text{NO}_3\text{-N}$ 負荷が $23.8 \text{ mg/d}$ で脱塗率95~100%を示す。それ以上では満減する。除去率90%以上を得るために $\text{NO}_3\text{-N}$ 負荷は約 $27.8 \text{ mg/d}$ となる。円板浸漬率を低下させると円板浸漬面積あたりの $\text{NO}_3\text{-N}$ 負荷限界が増加の傾向を示す。以上より、脱塗円板浸漬率を80, 50%に下げても、浸漬面積あたりの $\text{NO}_3\text{-N}$ 負荷 $15.9 \text{ mg/d}$ までは95%以上の脱塗が可能だと判明した。従って硝化部で $\text{NH}_3\text{-N}$ 負荷 $6.59 \text{ mg/d}$ (図-2参照)をかけ、完全な硝化の際に場合に、浸漬率を変化させても十分な脱塗が可能であり、実装置回転円板に適用できる。

回転円板脱塗槽内の気体は浸漬率交換後測定したが、いずれの場合にも1~2日で酸素分圧は12~14%に減少し、窒素ガスおよびUnknown gasが増加した。高 $\text{NO}_3\text{-N}$ 負荷( $20 \sim 27.8 \text{ mg/d}$ )では槽内の気体は窒素ガスが減少し、Unknown gasが増加した。このことは脱塗が不完全脱塗( $\text{NO}_3\text{-N} \rightarrow \text{NO}_x$ )であり、Unknown gasのはほとんどが $\text{NO}_x$ であると考えられる。また、滞留時間を長く取った場合にはメタンガスの発生が認められた。表-1に示したように、実装置硝化処理水には $6.8 \sim 9.0 \text{ mg/l}$ のDOが存在する。須藤らは回転円板脱塗による生物膜では從属栄養細菌が各段とも生物膜 $1 \text{ mg/l} \cdot 10^3 \sim 10^4$ 存在することを示している。しかしながら、本法での流入原水のDO濃度は高いため、前段部ではある程度の有機物除去が行なわれ、脱塗のほとんどが嫌気部より3段で起ると考えられる。流入DO濃度は脱塗システムの経済性の見地から望よいものではなく、脱塗の場合には流入DO濃度を極力低下せらる必要がある。

4. おわりに 本研究では、回転円板脱塗槽部の維持・管理軽減のため、脱塗部円板体と硝化部円板体と同程度の浸漬率まで通減させ、硝化水中に高DOが存在しても充分脱塗が進む事を確認し、脱塗率と $\text{NO}_3\text{-N}$ 負荷の関係、塵芥埋立地浸出水の硝化率と $\text{NH}_3\text{-N}$ 負荷の関係を明らかにした。なお、生物膜付着円板面積と1段取扱い脱塗についても講述する。本研究では、野外にバイオリットプラントを設けたため、温度、DO、負荷等のパラメータを完全に制御できなかつた。今後は実験室において基礎的研究を継続して行なう予定である。ひよ。本研究に対する多大な便宜を計り戴いた宮崎市清掃課の諸氏に衷心より謝意を表する。

#### 参考文献

- 1) 石黒、渡辺、増田：回転円板法による下水深度処理に関する研究(1)(II)(III)(IV)，下水道協会誌 Vol. 16, NO.185, 1975, 2, PP46~54. Vol. 14, NO.152, 1977, 1, PP32~41. Vol. 14, NO.161, 1977, 10, PP53~59. Vol. 16, NO.185, 1979, 10, PP40~48.
- 2) 石黒、渡辺、増田：回転円板法による塵芥埋立場の浸出水処理、環境技術, Vol. 1, NO.6, PP3~11.
- 3) 岩井、楠本監修：生物膜法 第4章 回転円板法、産業用水調査会、1980.11刊。
- 4) 中畠、常盤、渡辺：回転円板法による都市下水の2次、3次処理について、第15回下水道研究発表会講演集、1978, PP319~324.

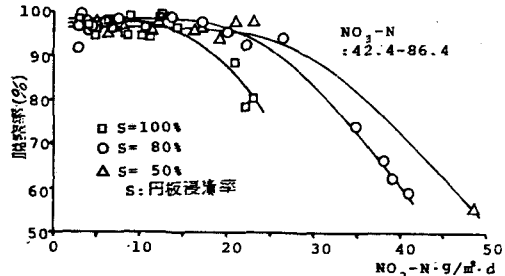


図-3 脱塗率と $\text{NO}_3\text{-N}$ 浸漬円板負荷の関係